



回転軸における温度情報の光テレメータリング に関する研究（第3報）*

—主軸の熱膨張・熱変位のオンライン推定—

横山和宏** 遠藤覚*** 鈴木孝昌† 松平雄策†

Optical Telemetering of Temperature Information in Rotating Spindle (3rd Report)
- On-line Estimation of Thermal Elongation and Thermal Displacement of Rotating Spindle -
Kazuhiro YOKOYAMA, Satoru ENDO, Takamasa SUZUKI and Yuusaku MATSUDAIRA

This paper deals with the accuracy of on-line estimations of the thermal elongation over whole length of the spindle and the thermal displacement of the spindle. The telemetering system is adopted to measure the axial temperature distribution of the spindle. At the same time the elongation and the displacement are measured by capacitive type displacement sensor. Estimated elongation and displacement are compared respectively with measured values, and it is clarified that the estimated elongation and displacement coincide well with measured values: accuracy with error within $+3.5 \sim -1.6 \mu\text{m}$ for $100 \mu\text{m}$ elongation and accuracy with error within $+1.3 \sim -1.3 \mu\text{m}$ for $13 \mu\text{m}$ displacement.

Key words: estimation, thermal elongation, thermal displacement, rotating spindle, temperature, optical telemetering

1. 緒 言

近年指向されている高速加工用の主軸は最高 10 万 rpm¹⁾ に及ぶ高回転数で使用されるので、軸受部の発熱による主軸の温度上昇により熱変位が生じる。さらに、数万 rpm 以上の高回転数運転を精度良く実現する必要性から、これらの主軸はビルトインモータ式であるのでモータ部の発熱が加わってますます熱変位が増加する傾向がある²⁾。

前報までに^{3) 4)}、熱電対を用いて回転軸の温度を測定し、測定値を赤外線 LED とフォトダイオード PD により静止体側へ伝送する光テレメターシステムについて報告した。このシステムで得られる温度測定値の精度は誤差 0.1°C 以下である。このシステムを用いて NC 旋盤用主軸の軸芯に沿う温度分布を測定し、この温度分布から主軸全長の熱膨張および前方への主軸熱変位を推定した。これらの推定値と実測値とを比較して両者が良く一致することが明らかになったので報告する。

2. 実験装置と方法

実験に用いた主軸を図 1 に示す。図 1 (a) は主軸の断面および光テレメターシステムの主要ユニットの配置を示している。主軸ロータの $\phi 18$ および $\phi 38$ の軸芯貫通穴の軸方向の温度分布を測定するため、⑨⑩⑪⑫の 4か所に素線直径 0.32mm の鉄-コンスタンタン熱電対を設置している。適切な外直径の塩化ビニル製パイプの軸方向にスリットを加工し、このパ

イプを主軸ロータの貫通穴に挿入する。その際のパイプの弾性変形に対応した復元力により、パイプ外周に固定してある熱電対線が主軸ロータの貫通穴内壁に押しつけられる。上記スリットに近接した位置でパイプに小孔を 2 個あけている。この孔の 1 つを通して熱電対の被覆を剥いた鉄線をパイプの内部から露出させ、他の孔からパイプの内部に挿入している。鉄線の露出部は塩化ビニル製パイプの外周に接着固定している。コンスタンタン線はスリットを挟んで、上記の鉄線と平行な位置にあけた別の 2 個の小孔を通して上記と同様に接着固定している。鉄線とコンスタンタン線はスリットを挟んで約 2mm 離れている。したがって、熱電対の高温接点は、鉄線-主軸の接触点と主軸-コンスタンタン線の接触点の 2 つの接触点から成っている。主軸の回転に伴う出力変動を防止するため各チャンネルには遮断周波数 3.9Hz (-3dB) のフィルタを設置し、誤差 0.1°C 以下の測定精度を得るために主軸 1 回転中の測定値の平均温度を採用している⁴⁾。

⑨⑩⑪⑫の熱電対はいずれも主軸ロータの貫通穴を経由して、主軸後部の回転ヘッドに導き、計測回路にはんだ付けしている。回転ヘッドの端面にある LED から温度測定値が静止ヘッド上の PD にシリアル信号として伝送される。これらの情報伝送の詳細は文献³⁾に譲る。

図 1 (b), (c) は主軸全長における熱膨張および前方への主軸の熱変位を測定する要領を示している。主軸ロータの軸方向変位がゼロとなる予定の位置はアンギュラコンタクトベアリング 4 列を組み合わせた軸受部の軸方向の中央位置であると考えられる。この位置と同一位置において、主軸ハウジングの両側面に $\phi 12\text{mm}$ スーパインバ製丸棒を固定している。このスーパインバ製丸棒に固定したジグの中央に静電容量型変位計のプローブを固定している。このジグはポリウレタン製の断熱材でカバーし、プローブ外周にはアクリル製円筒カバーを固定

* 原稿受付 平成 10 年 7 月 21 日

** 正会員 新潟大学大学院自然科学研究科（新潟市五十嵐 2 の町）

*** 学生会員 新潟大学大学院

† 新潟大学工学部

横山・遠藤・鈴木・松平：回転軸における温度情報の光テレメータリングに関する研究（第3報）

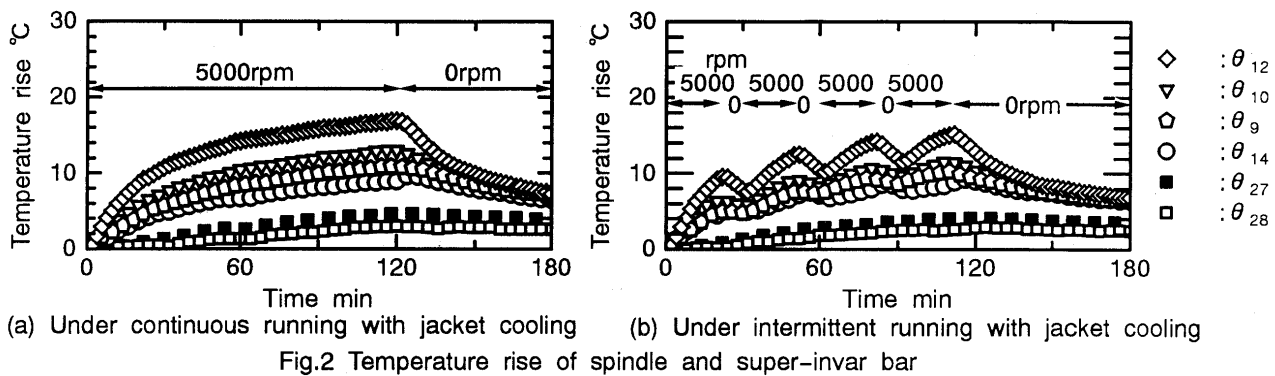


Fig.2 Temperature rise of spindle and super-invar bar

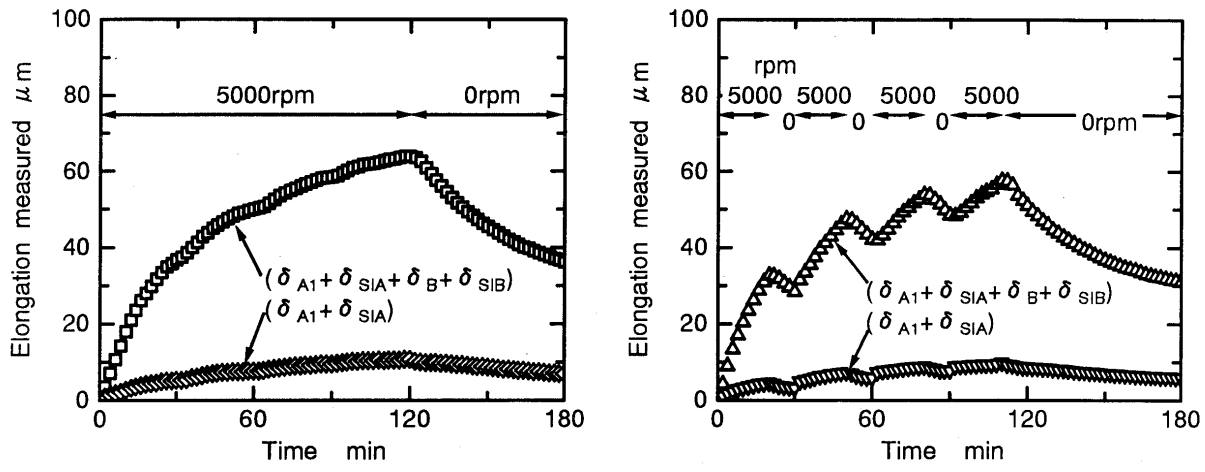


Fig.3 Spindle elongation measured

$$= \delta_{A2} + \delta_{SIA}$$

δ_{A2} : プローブ A2 による実測変位

X_f : 主軸部の温度上昇にもとづく計算値

$$= \rho_{S45C} I_9 \theta_9$$

a_{f1}, a_{f2} : 係数

b_{f1}, b_{f2} : 定数

4. 結 果

4.1 温度上昇・熱変位の測定結果

図2 (a) は 5000 rpm で 120min 連続運転した場合の主軸ロータの温度上昇とスーパインバ製丸棒の温度上昇を示す。主軸ロータのうちビルトインモータ部が最も温度上昇が高いことが分かる。主軸の運転に伴いスーパインバ製丸棒は緩やかに温度上昇している。図2 (b) は 20min 回転・10min 停止というサイクルを繰り返す間欠運転の場合の結果である。連続運転に比べて温度上昇が全体的にやや小さいものの、他の部分に比べビルトインモータ部の温度上昇が高いことは同様である。

図3 は主軸全長における熱膨張の実測値、および主軸前端面の熱変位の実測値である。いずれも静電容量型変位計のプローブを支持したスーパインバ製丸棒の温度変化による熱膨張の影響を補正して図示している。同図 (a) の連続運転においては連続的に主軸が熱膨張している、(b) の間欠運転では主軸停止時に膨張が減少している。

4.2 主軸全長における熱膨張の推定

測定した温度情報から主軸の熱膨張を推定し、オンラインで補正することを目的として、熱膨張の推定精度を検討する。

本節では最も温度が高いビルトインモータ部を含む主軸全長における熱膨張の推定精度を検討する。主軸ロータの4か所の温度上昇とこれらに対応する代表長さとの積から求めた計算値（式（1）但し書き X_{w1f} 参照）と実測値の対応を図4 (a) に示す。両者の対応を詳細に表示するため、同図における 45° 方向の直線との差を求め、図4 (b) に示す。図中の全データに最小2乗法を適用し、式（1）により直線近似した。その結果得られた式（1）および式（1）から上下に最も離れた2点を通る式（1）に平行な2つの直線を同時に表示している。これらの結果から、式（4）を熱膨張の推定式として用いると、推定精度は $\pm 1.6 \mu m$ であることが分かる。ただし、 $X_{w1} \approx 28 \mu m$ のデータは除外している。

推定式の勾配が 1.0 よりも大きいのは、式（5）の計算に用いる温度上昇の測定点が熱源から離れているため、主軸の熱膨張に比べて X_{w1} に時間遅れがあることによるものと考えられる。

$$Y_{w1} = 1.08 X_{w1} + 0.7 \mu m \quad (4)$$

$$X_{w1} = \rho_{S45C} (I_9 \theta_9 + I_{10} \theta_{10} + I_{12} \theta_{12} + I_{14} \theta_{14}) \quad (5)$$

4.3 主軸前方への熱変位の推定

本節では、主軸前側のアンギュラコンタクトベアリング4個の中央を軸方向変位ゼロとして、主軸前端面の熱変位の推定精度について検討する。計算値 $X_f = \rho_{S45C} I_9 \theta_9$ に用いる代表長さは $I_9 = 80 mm$ とし、温度測定点⑨は代表長さの中央に位置させている。熱変位の実測値と計算値 X_f との関係を図5 (a) に示す。さらに両者の関係を詳細に検討するため、同図における 45° 方向の直線との差を求め、図5 (b) に示す。図中の全データに最小2乗法を適用し、式（2）により直線近似

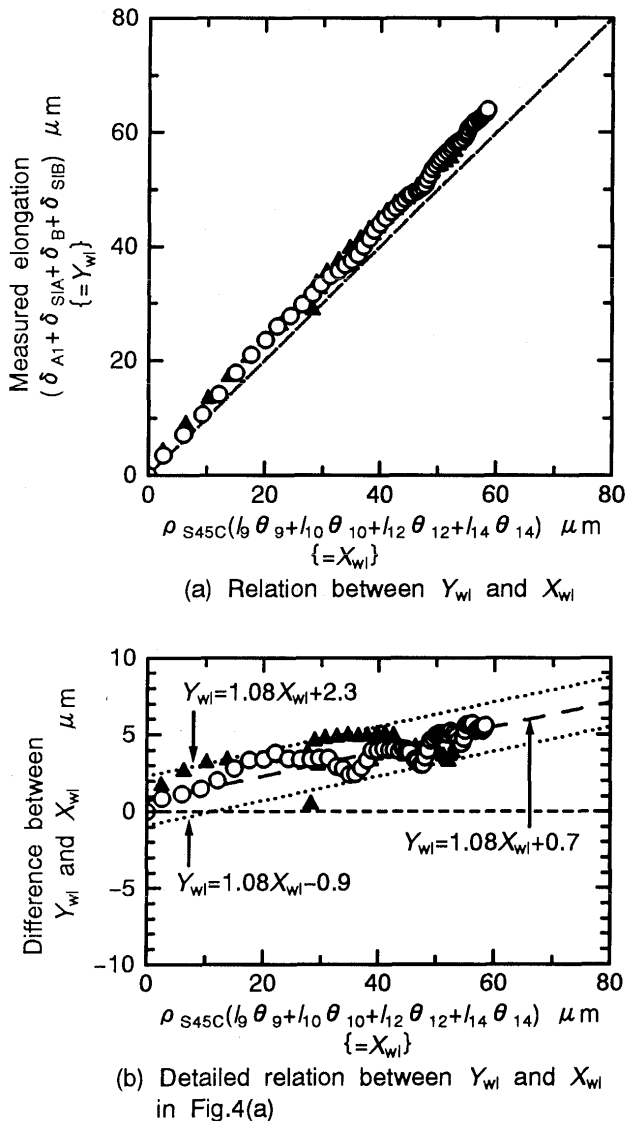
(b) Detailed relation between Y_{wl} and X_{wl} in Fig.4(a)

Fig.4 Relation between measured elongation Y_{wl} and calculated value X_{wl} of the spindle over whole length during running

- : 5000rpm, continuous running with jacket cooling
- ▲ : 5000rpm, intermittent running with jacket cooling

した。これらの結果から、 $Y_{fl}=1.06X_f \mu m$ を熱膨張の推定式として用いると、推定精度は+1.0, -0.6 μm であることが分かる。同様にして、プローブ A2 で測定した主軸前端面の外周近くの変位についても、推定精度を検討した。その結果を図5(c)に示す。この場合、 $Y_{fl}=1.18X_f - 0.1 \mu m$ となり、図5(b)に比べて係数が大きいのは、変位測定点が外周に近いので熱源に近い(：主軸の外周に近い)領域の熱膨張を反映しているためと考えられる。

4.4 热膨張・热変位の推定精度

図4(b), 図5(b)はジャケット冷却した場合の推定の結果である。これらを含め、ジャケット冷却しない場合の結果を表1に示す。さらに、ベアリングの予圧変化や焼付きに関する情報として計測するベアリングインナースの温度分布⁴⁾を熱膨張・熱変位を推定するために利用する場合の推定式と推定精度(表1下2行参照)をもまとめて表1に示す。この場合の推定式の係数が主軸貫通穴内壁の温度上昇から推定する場合(表1上3行参照)の係数に比べて小さいの

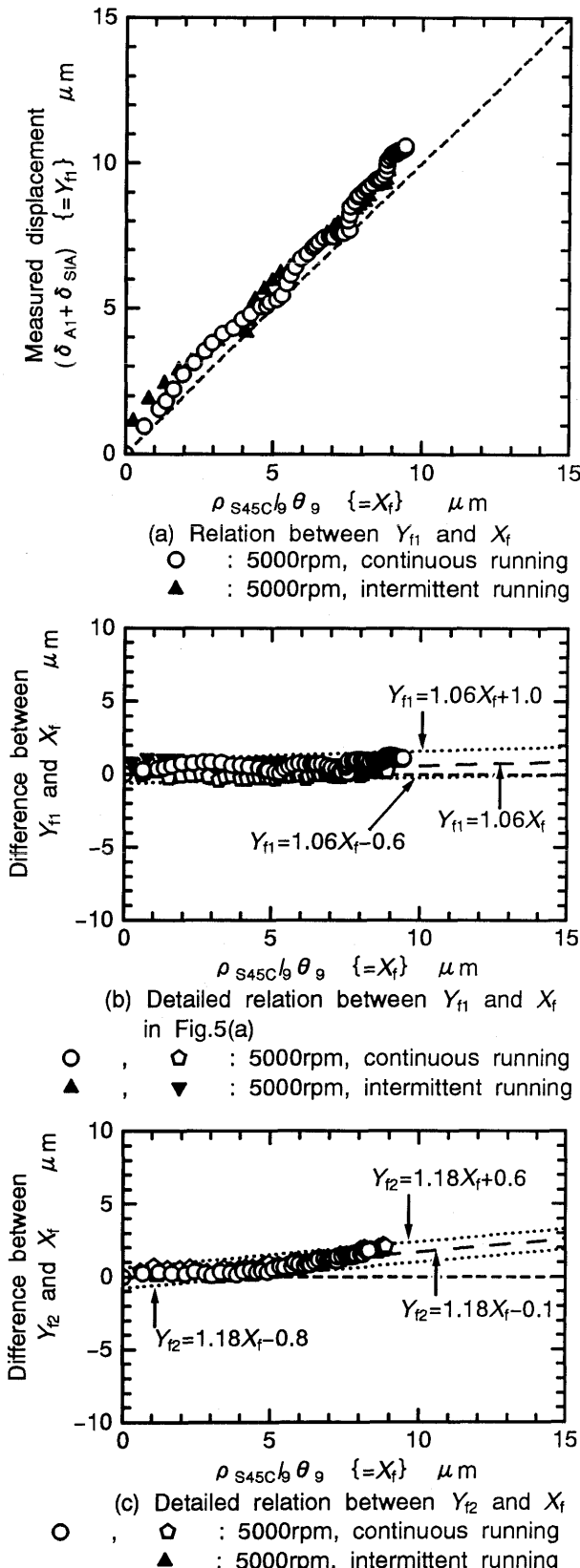


Fig.5 Relation between measured displacements Y_{fl}, Y_{f2} of the front end of spindle and calculated value X_f during running with jacket cooling

は、熱源に近いため温度上昇がより高いベアリングインナースの温度を用いて推定するので、変位の推定値がより大きくなることによるものと考えられる。しかし、表1から明ら

Table 1 Relation between measured displacement and estimated value

Relation between	With jacket cooling	Without jacket cooling
γ_{w1} and X_{wf} $(=\rho_{S45C}(l_9\theta_9+l_{10}\theta_{10}+l_{12}\theta_{12}+l_{14}\theta_{14}))$	$\gamma_{w1} = 1.08X_{wf} + 0.7 \mu m$ [$(3.2 \mu m / 58 \mu m) \times 100 = 6 \%$]	$\gamma_{w1} = 1.05X_{wf} \mu m$ [$(4.0 \mu m / 86 \mu m) \times 100 = 5 \%$]
γ_{f1} and X_f ($=\rho_{S45C}l_9\theta_9$)	$\gamma_{f1} = 1.06X_f$ [$(1.6 \mu m / 10 \mu m) \times 100 = 16 \%$]	$\gamma_{f1} = 1.03X_f$ [$(1.4 \mu m / 13 \mu m) \times 100 = 11 \%$]
γ_{f2} and X_f ($=\rho_{S45C}l_9\theta_9$)	$\gamma_{f2} = 1.18X_f - 0.1$ [$(1.4 \mu m / 9 \mu m) \times 100 = 16 \%$]	$\gamma_{f2} = 1.09X_f$ [$(2.6 \mu m / 13 \mu m) \times 100 = 20 \%$]
γ_{w1} and X_{w1b} $(=\rho_{S45C}(l_1\theta_1+l_4\theta_4+l_{12}\theta_{12}+l_7\theta_7))$	$\gamma_{w1} = 1.01X_{w1b}$ [$(2.2 \mu m / 66 \mu m) \times 100 = 3 \%$]	$\gamma_{w1} = 1.01X_{w1b}$ [$(4.2 \mu m / 100 \mu m) \times 100 = 4 \%$]
γ_{f2} and X_{bi} ($=\rho_{S45C}l_1\theta_1$)	$\gamma_{f2} = 1.15X_{bi} - 0.3$ [$(2.0 \mu m / 11 \mu m) \times 100 = 18 \%$]	$\gamma_{f2} = 1.09X_{bi} + 0.1$ [$(1.9 \mu m / 16 \mu m) \times 100 = 12 \%$]

$(\Delta_{ul}, \Delta_{ll})$: Δ_{ul} : difference between upper-limit datum and the estimating equation above

Δ_{ll} : difference between lower-limit datum and the estimating equation above

[$(\Delta_{ul} - \Delta_{ll}) / \text{max of measured displacement} \times 100 = \text{error percentage}$]

かのように、いずれの場合も推定式の精度は主軸全長の膨張に
対しては $+3.5 \sim -1.6 \mu m$ 、主軸前面の変位に対しては
 $+1.3 \sim -1.3 \mu m$ と高い精度が得られていることが分かる。

5. 結 論

開発した光テレメータシステムを用いて、NC 旋盤主軸の熱
膨張・熱変位のオンライン推定について検討した結果、以下の
結論を得た。

- (1) 主軸の軸方向温度分布では、ビルトインモータ部が最も
温度上昇が高い。
- (2) 主軸の軸芯にあけた貫通穴の穴壁の温度を測定した。こ
の温度・代表長さ・熱膨張係数の積の総和から主軸全長の
熱膨張量を推定する式を求めた。推定精度は主軸全長
439mm の熱膨張量（最大） $100 \mu m$ に対して $+3.5 \sim -1.6 \mu m$ 以内であった。
- (3) 主軸前端面の前方への熱変位についても推定式を求めた。
推定精度は熱変位（最大） $16 \mu m$ に対して $+1.3 \sim -1.3 \mu m$ 以内であった。

μm 以内であった。

謝 辞

本研究に用いた主軸は日本精工（株）精機技術センタから貸
与していただきました。ここに記して深く感謝いたします。また、
研究に協力していただいた4年次学生横山幸夫君に感謝し
ます。

参 考 文 献

- 1) 高橋一郎, 安斎正博, 新野俊樹, 加瀬 究, 松岡甫宣, 中川威
雄: 超高速ミーリング機(HICART)の開発, 1998年度精密工学会
春季大会学術講演会講演論文集, (1998) 244.
- 2) 中村晋哉, 堀野義昭: 高速スピンドルにおける回転中の軸受予圧
変化と主軸変位の解析, 精密工学会誌, 58, 12 (1992) 2019.
- 3) 横山和宏, 鈴木孝昌, 星名浩樹: 回転軸における温度情報の光テ
レメータリングに関する研究(第1報), 精密工学会誌, 62, 7
(1996) 1009.
- 4) 横山和宏, 遠藤 覚, 鈴木孝昌: 回転軸における温度情報の光テ
レメータリングに関する研究(第2報), 精密工学会誌, 64, 9
(1998) 1355.